

不攪乱砂質土の変形強度特性

京都大学 正員 鶴留治郎
 京都大学 正員 太田秀樹
 京都大学 正員 萩川良一
 京都大学 学生員 ○志方弘樹

1. はじめに。 近年、サニタリニが技術の発達とともに不攪乱砂質土に関する研究も進展してきたが、不攪乱砂質土の変形強度特性を表現するには、なお一層のデータ収集が必要であると思われる。今回の報告は、履歴時、保存時に攪乱しないよう十分な考慮を払った試料と用い、不攪乱及び攪乱状態で実験し、攪乱作用の不攪乱砂の変形強度特性に及ぼす影響について考察した。

2. 試料 今回の実験で用いた試料は、北海道の日本道路公团道央自動車道野幌地区試験盛土地盤より採取したもので、その採取位置、試料の物理的特性を、図-1、図-2に示す。この試料を以後野幌砂と呼ぶ。試料の採取には、試料の脱落を防ぐため、外径60.3mm、内径57mmの細身のミクロオーバーチューブを使、矢張定じんトミクロオーバーナンチャップを使用した。量締時は試料の原位置有効応力状態を保持し、乱れをできるだけ抑えるために、図-3に示すように原位置有効上載圧を起えなり適当な圧力で試料の変形を拘束しパラフィルミールする方法を用いた。

3. 実験方法 実験装置として、径35mmの供試体を用いる通常の三軸装置を用いた。不攪乱供試体は、内径35mmの先端を鋭くした金属製の高カムターピン（以下）を用いてミクロオーバーチューブより抜き出し端面を整修することによつて得た。試料は細粒分（74μm以下）と幾分含むので供試体はそのまま自立する。攪乱供試体は、不攪乱供試体と体積及び乾燥重量が等しくなるようにカニテナ内で作成し、間か半分をあらわした。試料の圧密は不攪乱試料の場合200kN/m²、攪乱試料の場合100~300kN/m²のパッカーレッミーを用いているので、各段階の有効正規圧力が所定の有効圧密圧力を越えないように段階的に進行した。これによりB値は、不攪乱試料で0.93~0.99

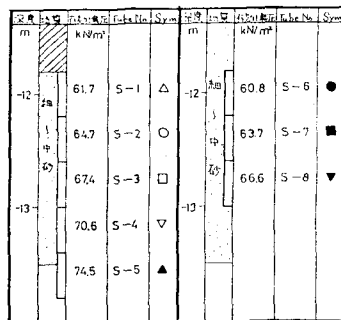


図-1 試料採取位置図

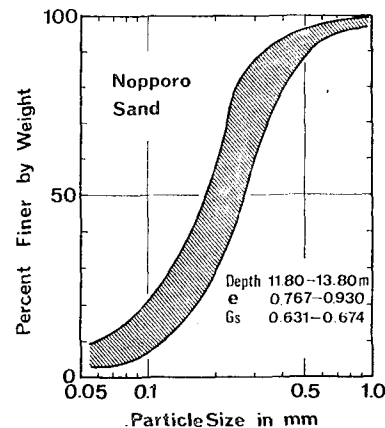


図-2 物理的特性

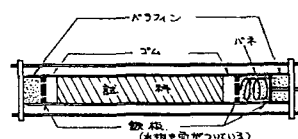


図-3 連搬方法

擾乱試料の場合 0.84~0.95 となつた。実験はヒズミを 15%まで 39 段階に分けて行ない、過剰間隙水圧の消散する 5 分後の値をデータとして得た。

4. 結果及び考察 非排水条件で不擾乱及び擾乱供試体をセニ断した結果を図-4, 図-5 に示す。図中の ϵ は主応力差、 P は平均有効主応力、 P_0 は圧密終了時の平均有効主応力をあらわしている。図-4 の応力経路をみると不擾乱試料も擾乱試料も応力経路の傾きはほとんど同じで、無次元化セニ断強度は大きく違うことがわかる。また応力～ヒズミ関係の分布傾向もかなり違っている。なお、この非排水セニ断試験は不擾乱砂も擾乱砂も原位置有効工載圧程度の拘束圧領域で行った。排水条件でセニ断しに結果を破壊時($(\epsilon/\epsilon_{max})$)のモールの応力円で整理したものと図-6 に示す。不擾乱砂は見かけの粘着力をもつこと、また擾乱作用を受けると内部摩擦角はほとんどかわらないが見かけの粘着力がぼくなることがある。同じ間隔比の不擾乱砂と擾乱砂のセニ断強度に大きな差があり、擾乱砂のセニ断強度が不擾乱砂のセニ断強度より小さくなっているのは、砂粒子間に存在する微細粒子群によって發揮されるセメントーション効果が擾乱作用によって破壊されるためと思われる。破壊時のモールの応力円に引いた破壊包絡線の傾きが不擾乱砂と擾乱砂でほとんどかわらず、擾乱砂がもたない見かけの粘着力と不擾乱砂がもつことは、この見かけの粘着力によくて不擾乱砂の強度特性を表現できるのではないかと思われる。

5. おわりに 今回の実験より以下のことがわかった。
 ① 不擾乱砂は擾乱作用を受けるとセニ断強度が著しく低下する。
 ② 不擾乱砂は見かけの粘着力をもつことは、擾乱することによって消失する。
 はあ、実験を通して細粒分が不擾乱砂の変形強度特性に大きな影響を与えるよう感じた。

<参考文献> 1) 藤野有雄; 低拘束圧下における乱さない砂試料のセニ断強さ; 土質工学研究報告集, 1973. 2) 藤野有雄; 砂粒子の構成と一軸圧縮性; 土質工学研究報告集, 1975. 3) 風間清彦; 小田重慶; 小林泰司; 亂さない砂質土のセニ断強度特性; 第12回自然災害科学総合シンポジウム.

4) 直島一雄; 植下樹; 乱さない洪積 熟成砂の力学的特性; 土質工学会論文報告集 Vol. 20, No. 3, 1980.

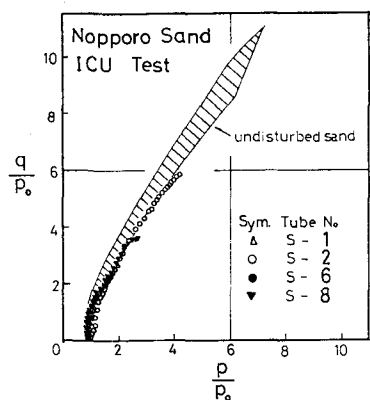


図-4 応力経路

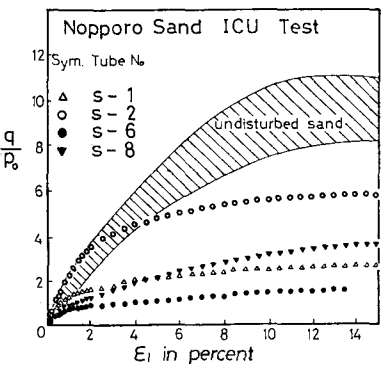


図-5 応力～ヒズミ関係

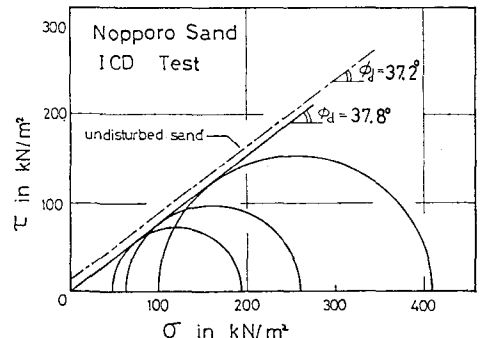


図-6 破壊時のモールの応力円